



**6211—81**  
**( 1159-78)**

-

. . . , . . .

. . . . .

**5789.**

**30**

**1981**

-

.

«

**Basic norms of interchangeability.  
Pipe taper thread**

**6211-81**  
**(CT 1159—73)**

6211—69

1981 . 5789

30 -

01.01 1983 .

1:16, -

6357—81

1159—78.

1.

1.1.

( -

)

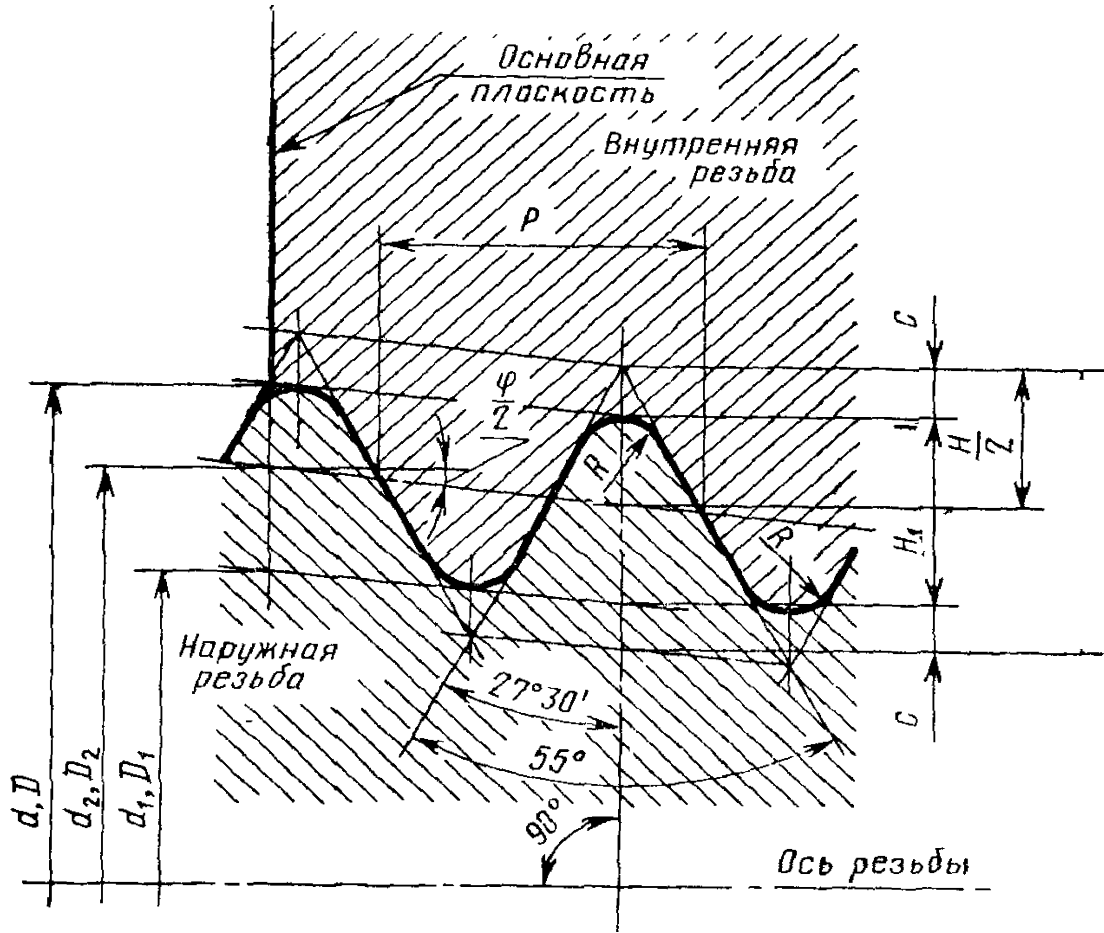
.1 .1.

1.2.

— 6357—81.

(6)

, 1982



$$2 \operatorname{tg} \frac{f}{7} = 1 : 16 ;$$

$$\angle ? = 3^{\circ}34'48'' ;$$

$$-1^{\circ}47'24'' ;$$

- d —
- 
- d<sub>7</sub> —
- D —
- D<sub>1</sub> —
- D<sub>2</sub> —
- ;
- ⊙ — ;
- l<sub>2</sub> — ;
- ;
- 1 — ;
- ;
- ;

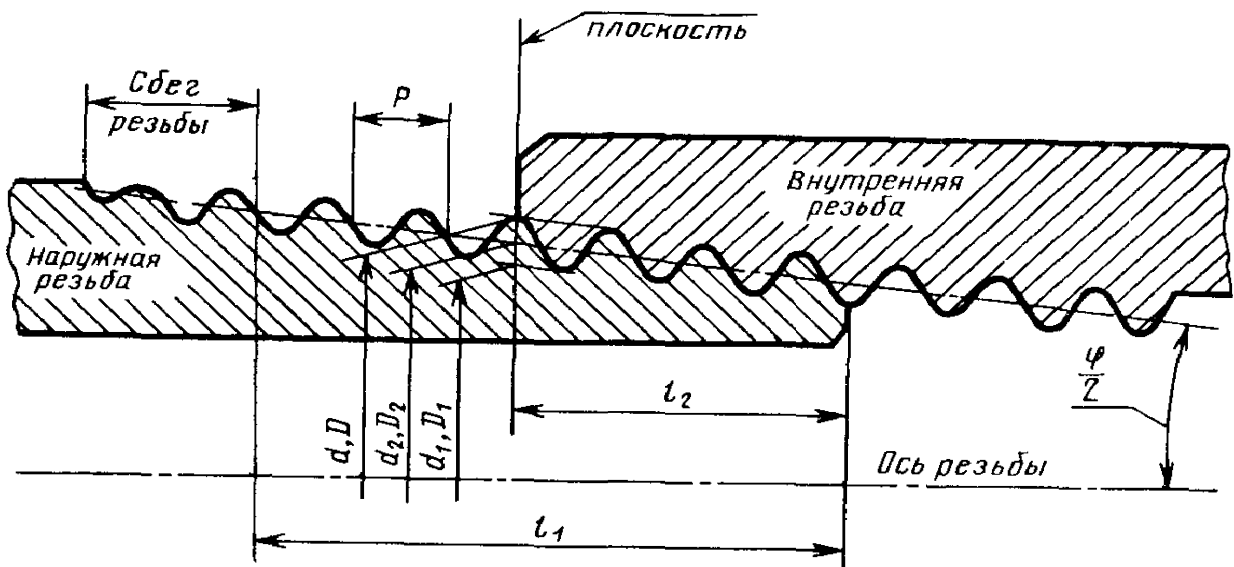
	25,4	=0,960237	<sub>1</sub> =0,640327	=0,159955	=0,137278
0,907 1,337 1,814 2,309	28 19 14 11	0,870935 1,283837 1,741870 2,217187	• 0,580777 0,856117 1,161553 1,478515	0,145079 0,213860 0,290158 0,369336	0,124511 0,183541 0,249022 0,316975

$l^*=25,4/2$

3-

2.

2.1.



11 —  
12 —

. 2

	P					
		$d=D$	$d_2 - D_2$	$\vec{d} \rightarrow \vec{D}$	$h$	$h$
$\frac{V_i}{V_s}$	0,907	7,723 9,728	7,142 9,147	6,561 8,566	6,5	4,0 !.
$\frac{V_i}{V_s}$	1,337	13,157 16,662	12,301 15,806	11,445 14,950	9,7 10,1	6,0 6,4
$s_u$	1,814	20,955 26,441	19,793 25,279	18,631 24,117	13,2 14,5	8,2 9,5
1	2,309	33,249	31,770	30,291 <sup>s</sup>	16,8	10,4
$\frac{1 V_i}{1 V_s}$		41,910 47,803	40,431 46,324	38,952 44,845	19,1	12,7
$\frac{2}{2 V_a}$		59,614 75,184	58,135 73,706	56,656 72,226	23,4 26,7	15,9 17,5
$\frac{3}{3 V_s}$		87,884 - 100,330	86,405 98,851	84,926 97,372	29,8 31,4	20,6 22,2 ,
4		113,030	111,551	110,072	35,8	25,4
$\frac{5}{6}$		138,430 163,830	136,951 162,351	135,472 160,872	40,1	28,6

2.2.

$$d_2 \quad d_x \quad -$$

$$d_2 \wedge D_2 = d \sim 0,640327 \quad , \quad (1)$$

$$d_x = D_i = d - 1,280654 \quad . \quad (2)$$

d

2.3.

$$1 \quad \frac{1}{2} \gg \quad 1 - \frac{1}{2} \quad . \quad 2.$$

2.4.

$$0,8 \{ /i - A_i i_2 \}, \quad A_i /_2 -$$

. 3.

2.5.

. 3

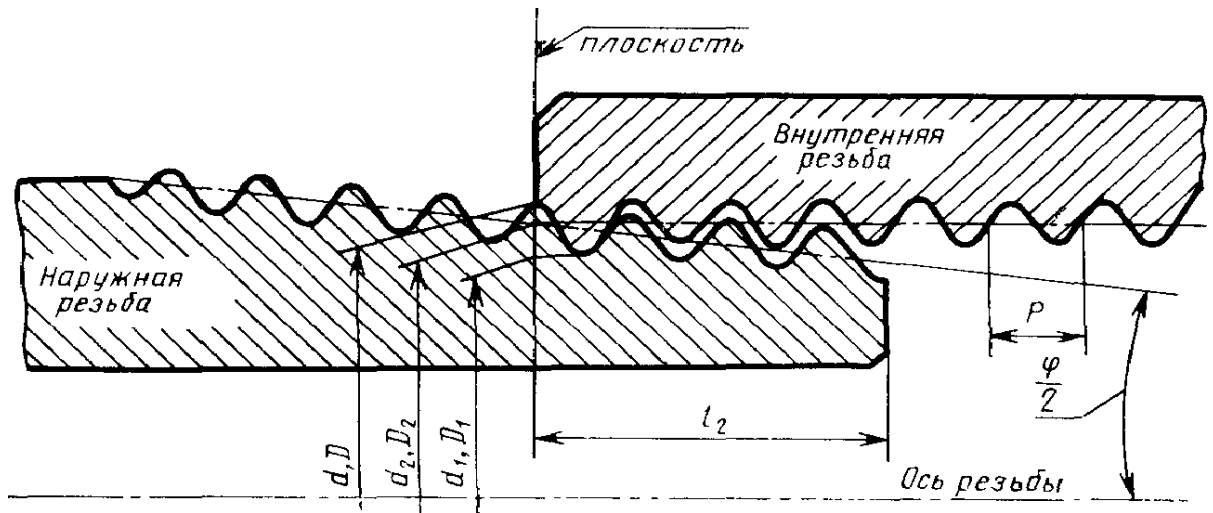
. 2.

2.6.

)

(

$$/_{1+} A_i 1_2.$$



.3

3.

3.1.  
 $h$

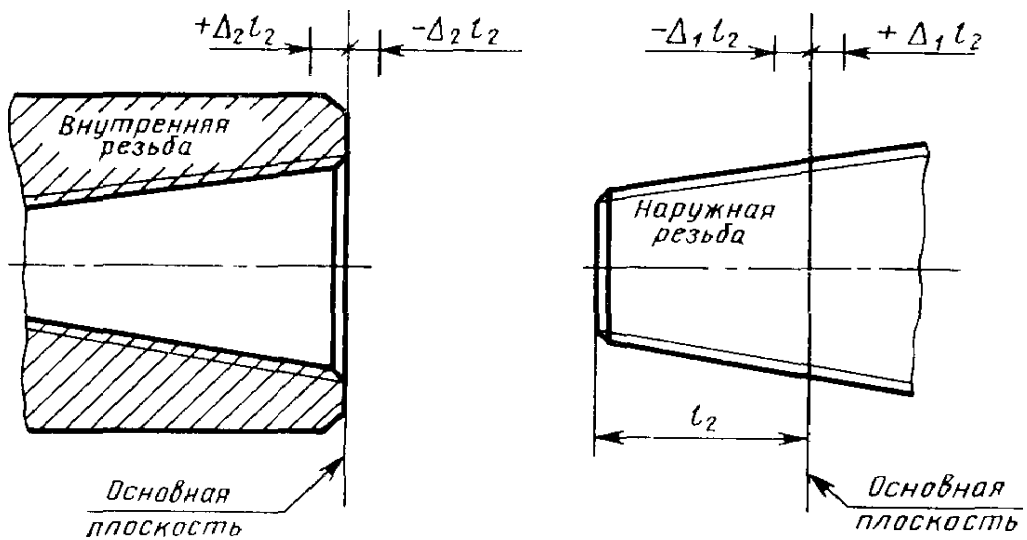
( .4)

$A_i t_2$

.3.

3.2.

.3.



.4

	$\pm 1^* \ll$	$\pm At < i$	
Vie V.	0,9	1.1	$\pm 0,071$
V 4	1.3	1.7	d=0,104
V* 5	1.8	2,3	$\pm 0,142$
I IV* IV* 2	2,3	2,9	$\pm 0,180$
272 3 372 4 5 6	3,5	3,5	$\pm 0,217$

$\sqrt{2} \quad \sqrt{2} \quad . 2.$

3.3.

6357—81.

3.4.

\*

4.

4.1.

( — ,  $R_p$  — ,  $R_c$  — )

LH.

$\begin{matrix} \vdots \\ V/2 : R_1 \sqrt{1} \\ \sqrt{1} : R_c IV_2 \\ 1 \quad 2 : R_p 1 \quad 2 \end{matrix}$

:



$R VI, LH;$   
 $R_c W_2 LH;$   
 $R_p 1 V^* \wedge .$

4.2.

$RJR,$

( );

$\frac{Es.}{R} 1^{1/2};$   $R VU LH;$

)

$\frac{Rp}{R} 1^{1/2};$   $\frac{Rp}{R} VI, LH;$

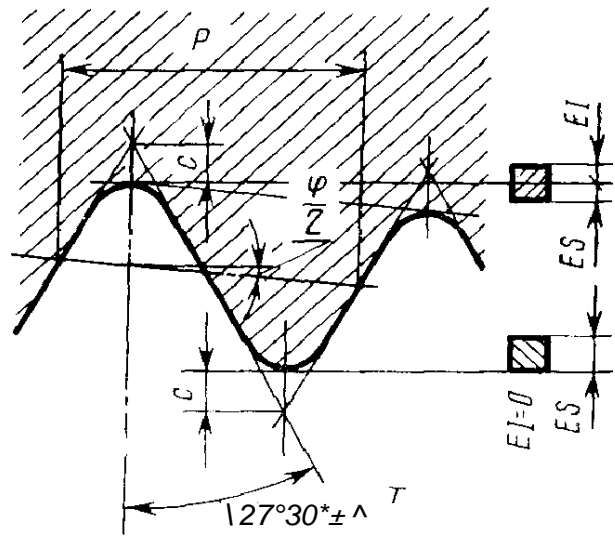
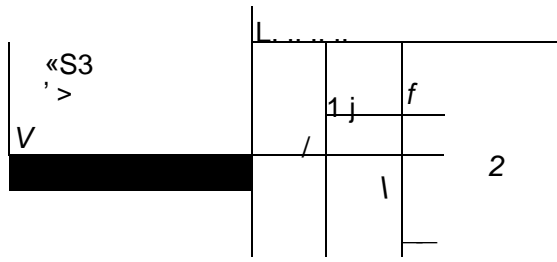
6357—81

f 1

-f-1'ULH-A.

2.

—  $\frac{jLt}{l_2} -27^{\circ}3'0''$ , < ( .1



2 Δ'

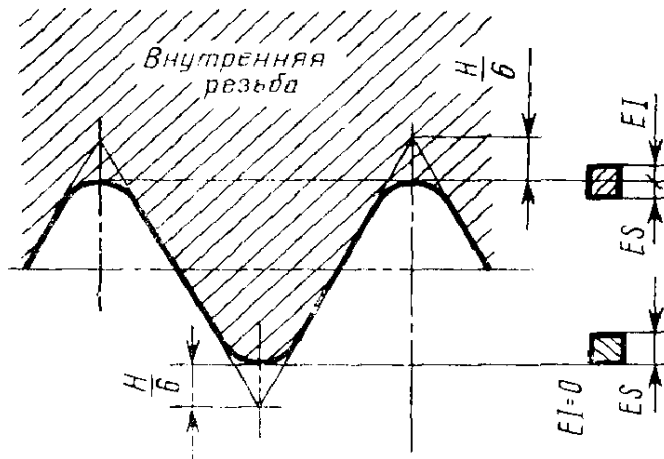
es —  
ES —  
ei —  
EI —  
—

. 1

3.

( -g- )

( . 2 )  
+ 0,05 (ES=+0,05 , EI — 0);  
± 0,025 (ES=+0,025 , EI — —0,025 )



. 2

) « OJ X <L> If «2					/2	1'	1%			
							± 2	h		
	es=ES	ei=* —EI	es=ES	ei=EI						
/					40'			0,250	+0,028 —0,014	+0,014 —0,028
*					35'			0,375	+0,042 -0.021	+0,021 —0,042
•/.								0,400	+0,044 -0,022	+0,022 -0,044
V.								0,512	+0,058 —0,028	+0,028 -0,058
*/«								0,594	+0,066 —0,034	+0,034 -0,066
1								0,650	+0,073 -0,036	+0,036 -0,073
/4 IV*	+0,05	0	+ 0,025	-0,025		0,04	0,07	0,794	+0,089 —0,045	+0,045 -0,090
2					25'			0,994	+0,111 -0.056	+0,056 —0,111
2 ' / •								1,094	+0,122 —0 06 '	+0,062 —0.122
3								1,288	+0.1-14 0,1 73	+0,073 — 0,144
3								1,388	- 0,155 —0,078	+0,078 0,155
4								1,588	+0,177 —0,0^9	+0,089 0,177
5 6								1,788	+0.200 —0,101	+0,101 -0,200

